

Fig. 1

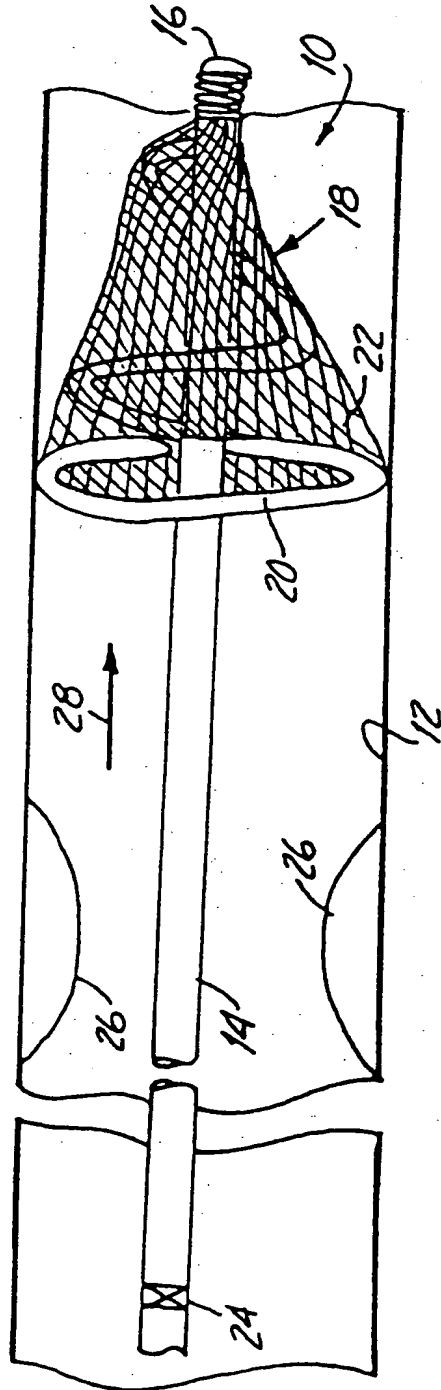


Fig. 2

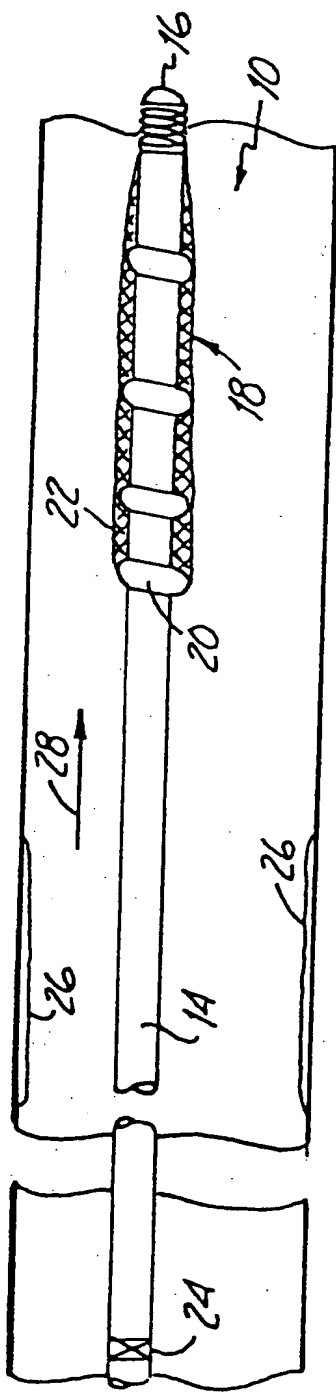


Fig. 4

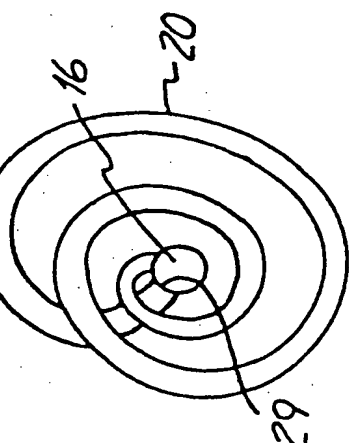
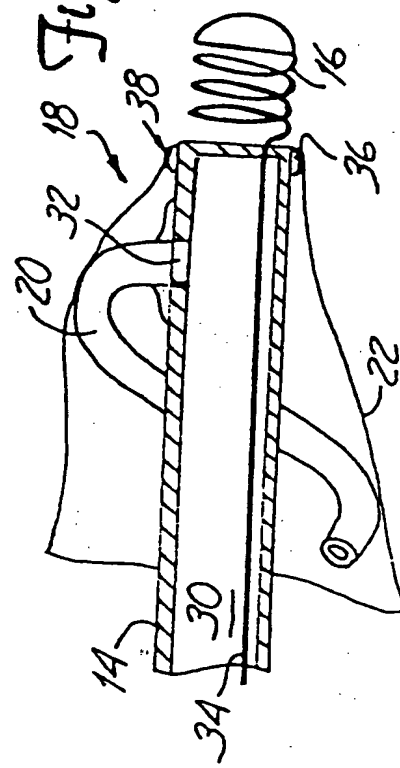
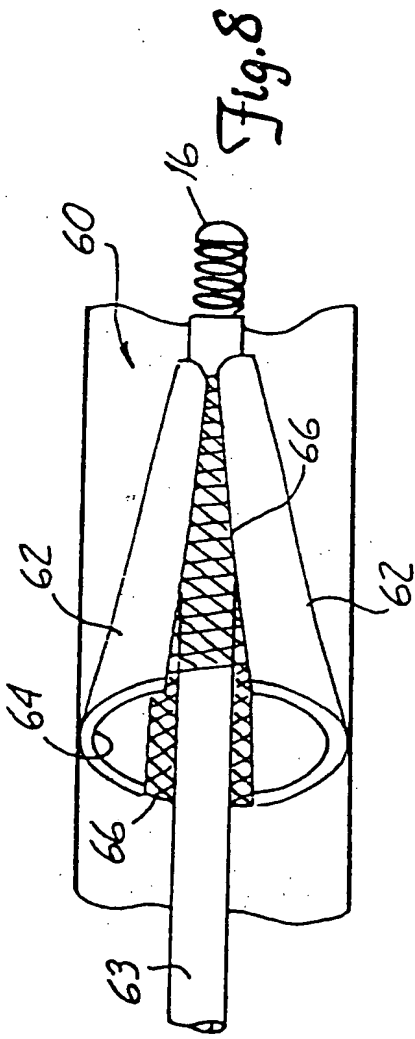
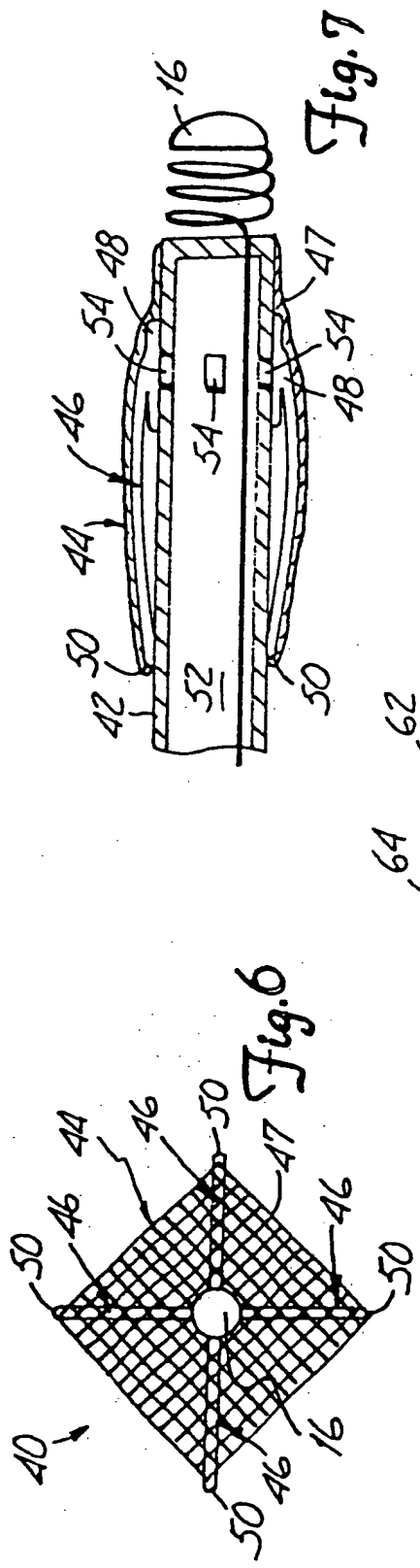
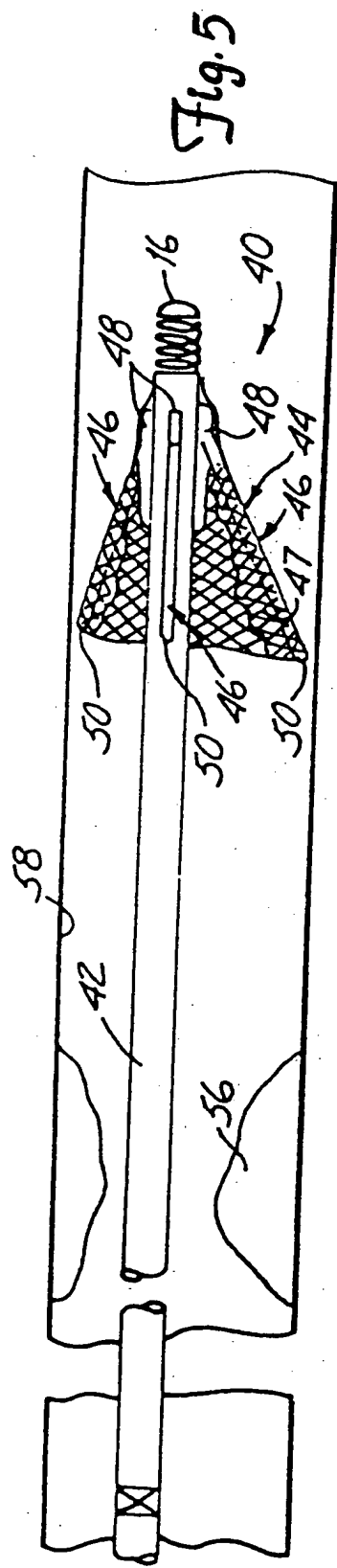


Fig. 3



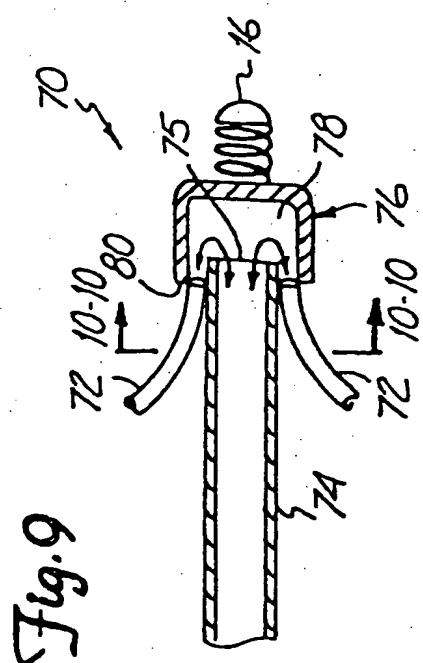
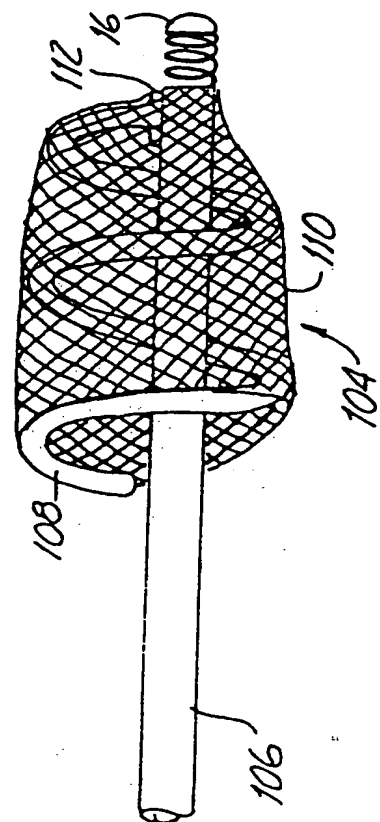
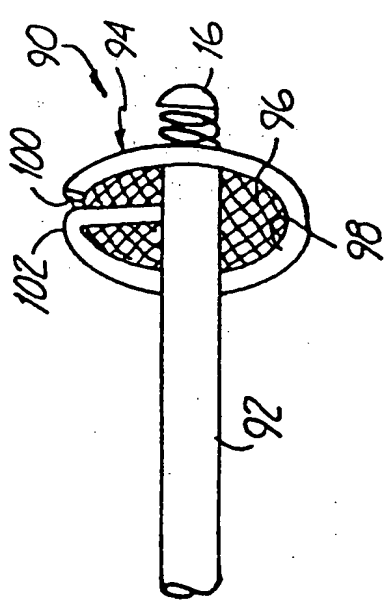
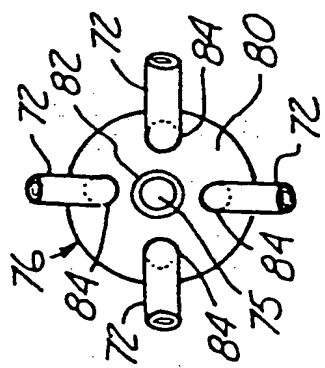
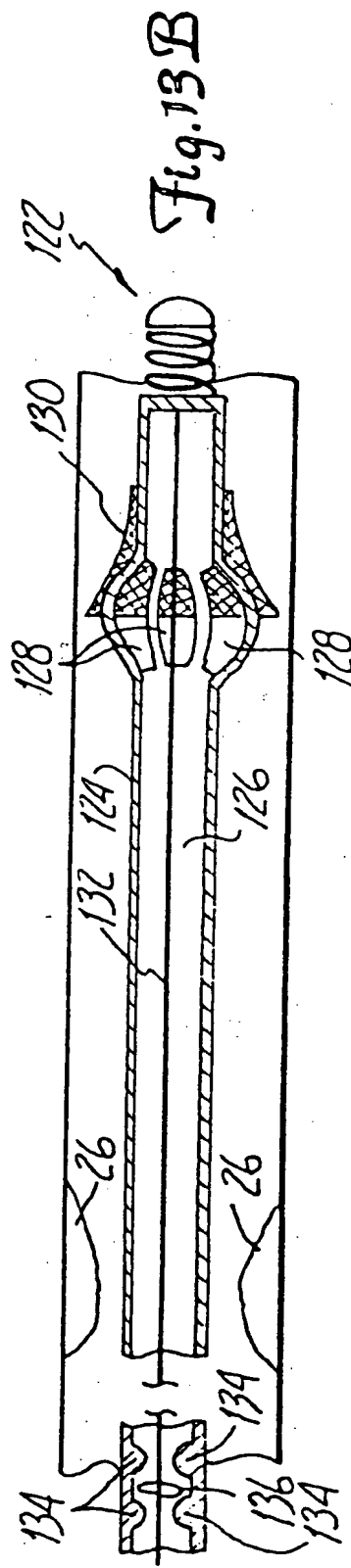
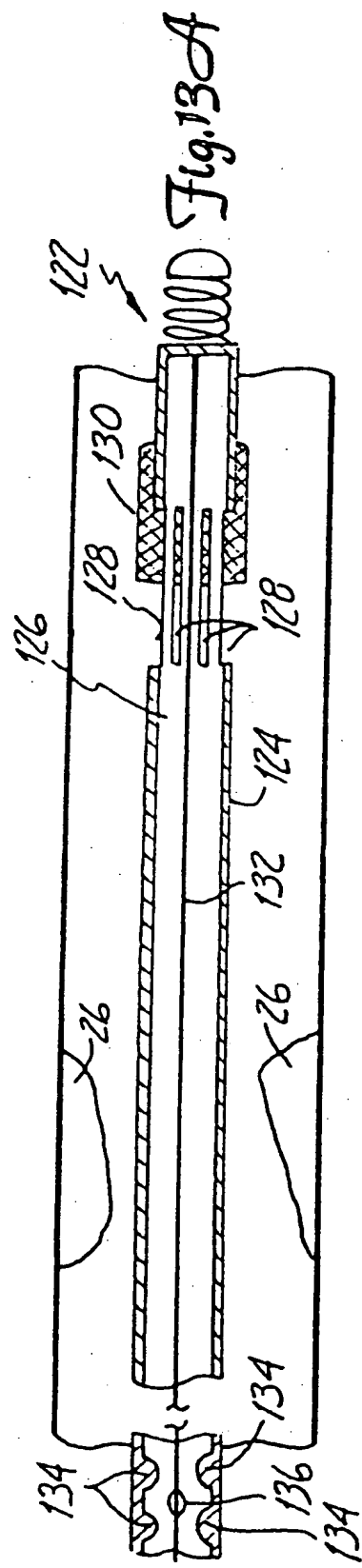
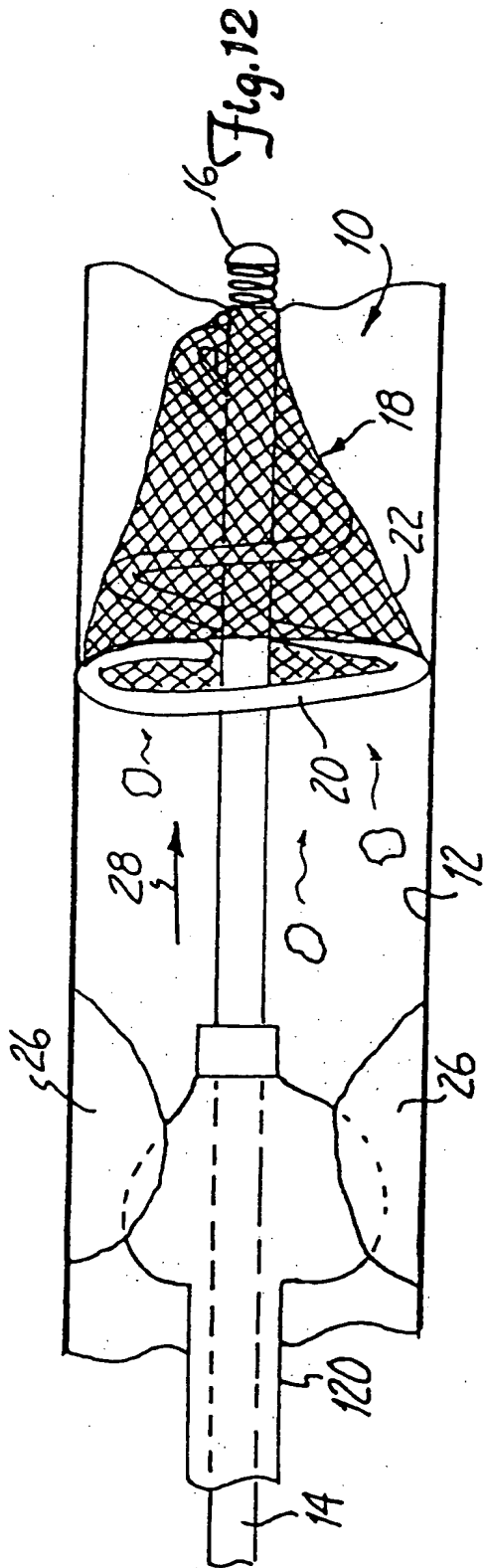
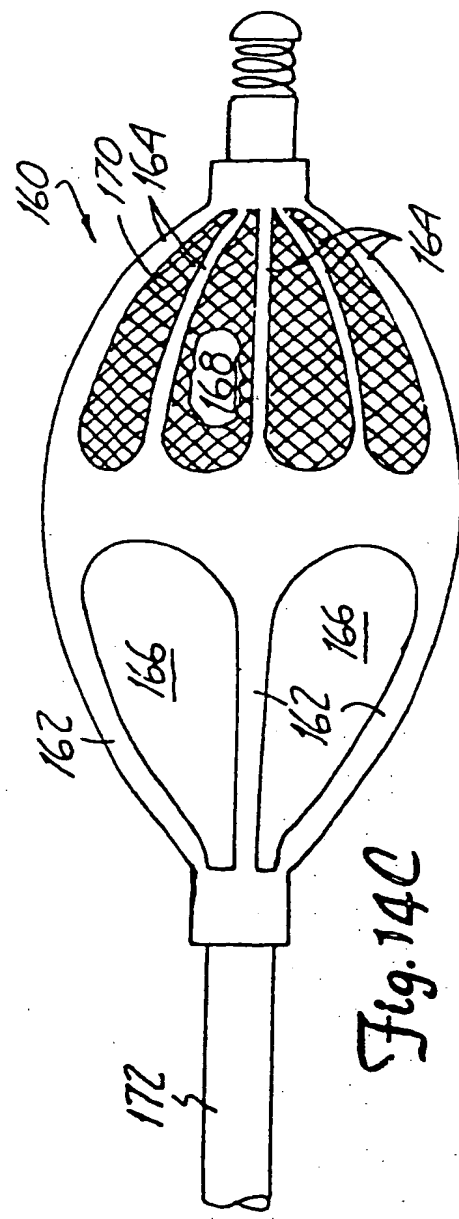
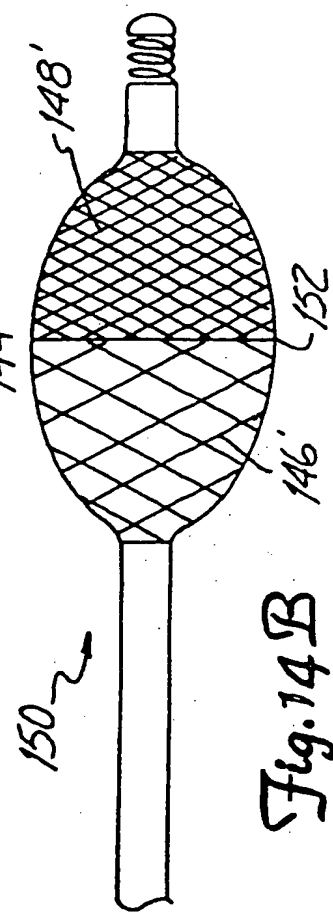
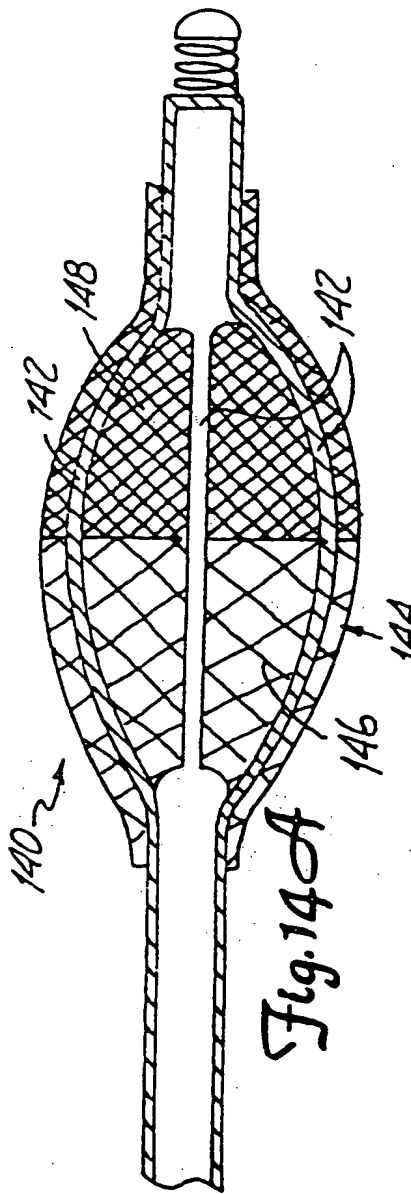
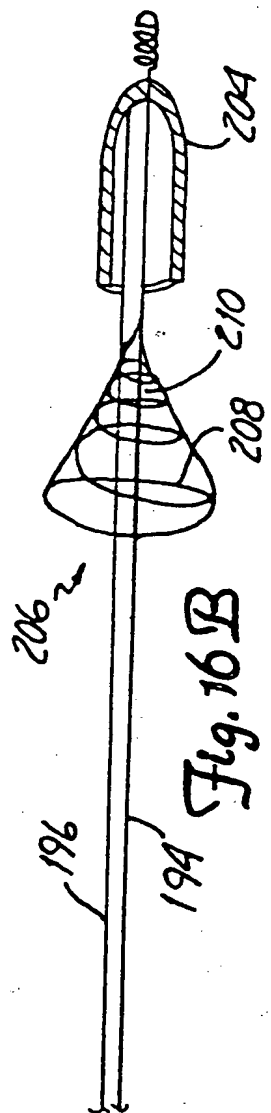
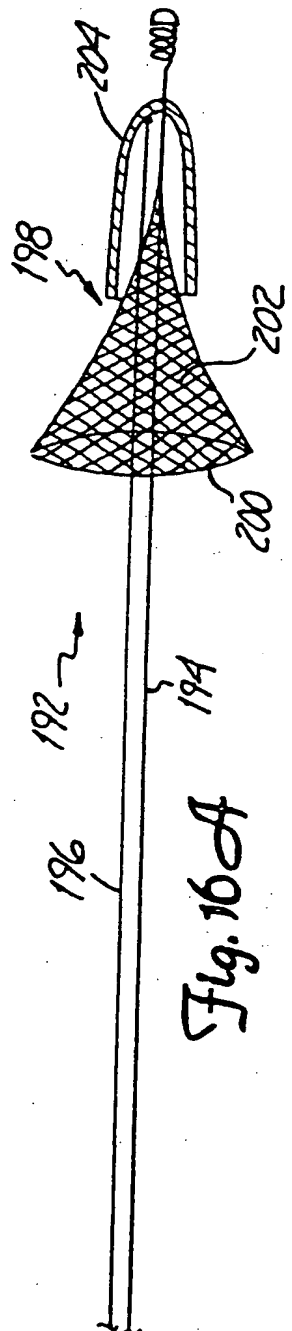
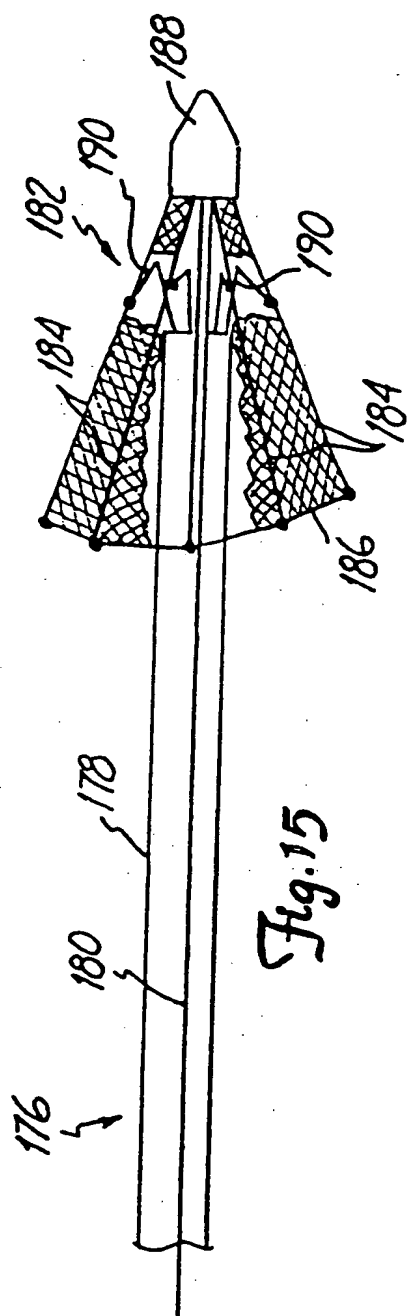


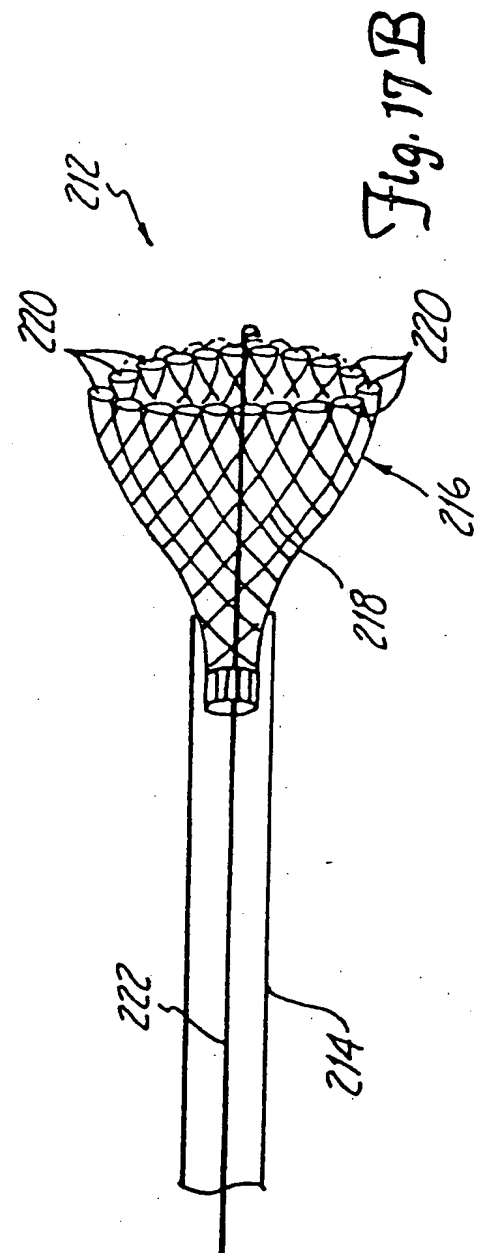
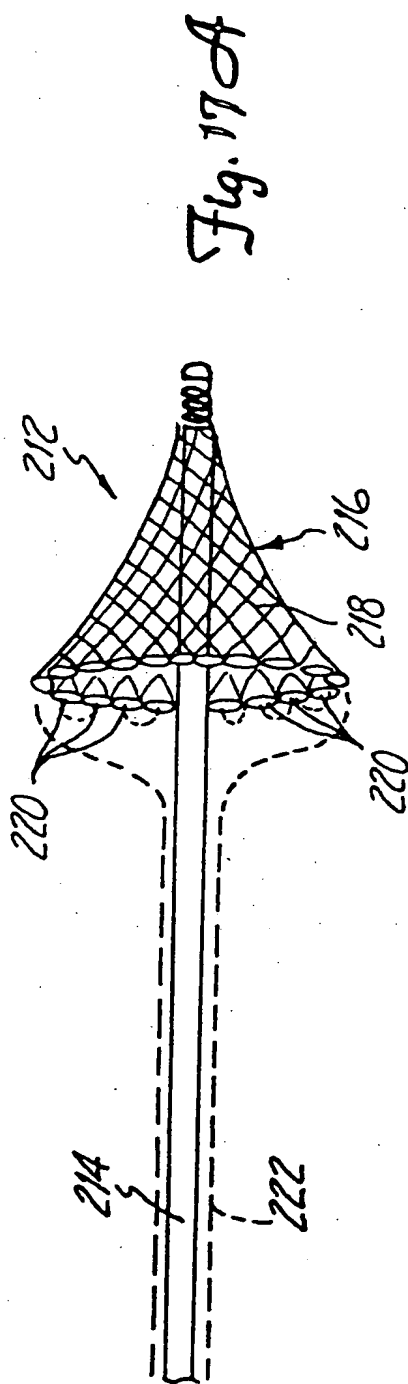
Fig. 10











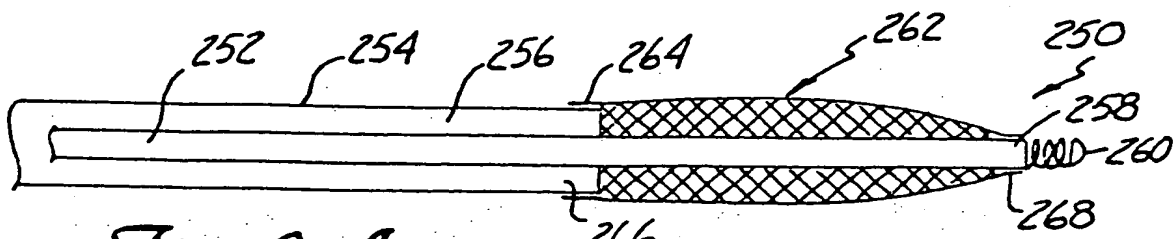


Fig. 18A

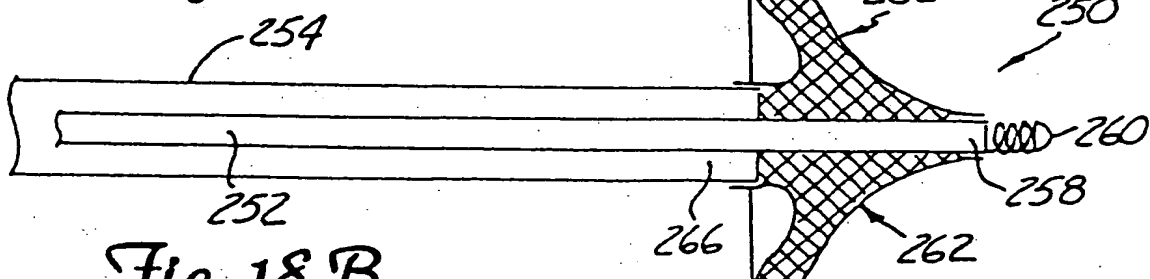


Fig. 18B

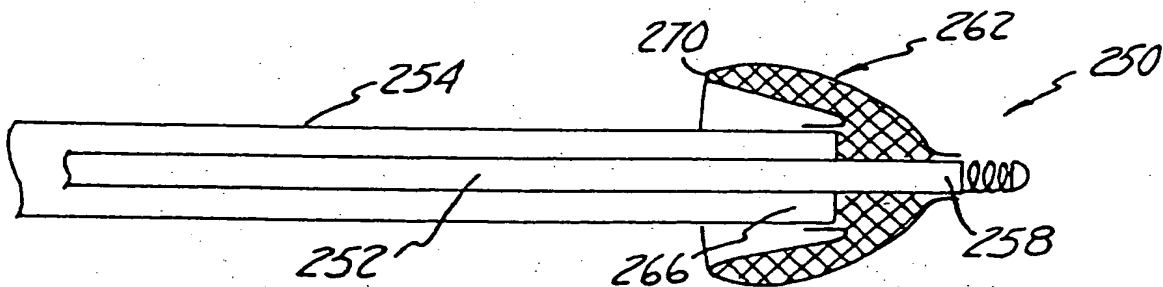


Fig. 18C

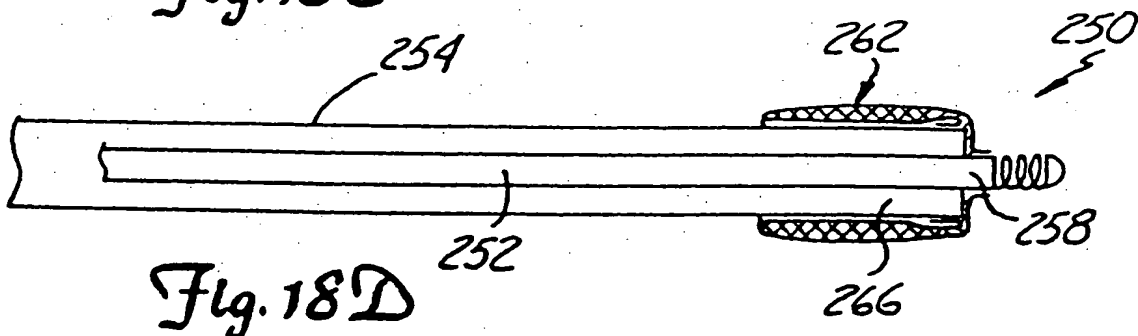


Fig. 18D

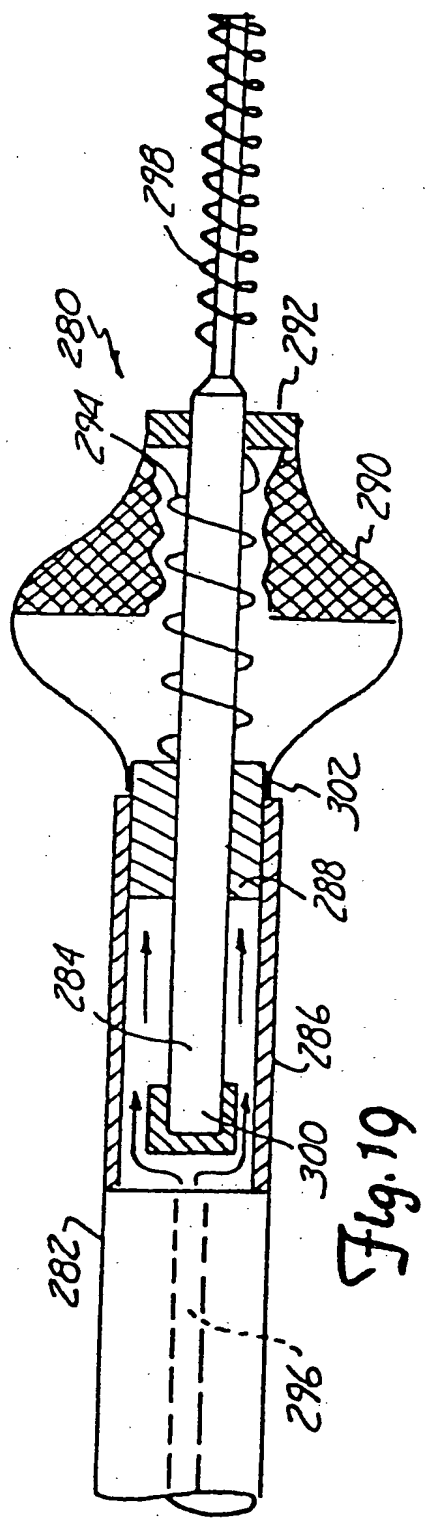


Fig. 19

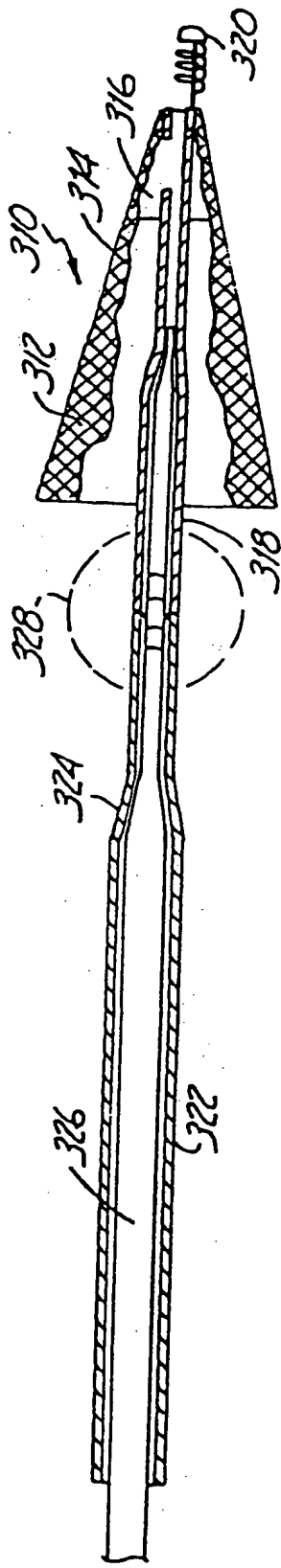


Fig. 20A

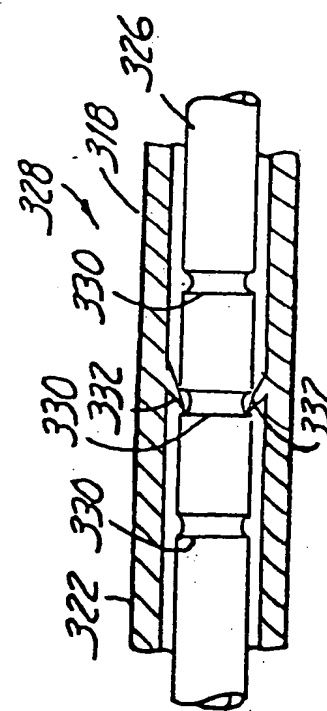
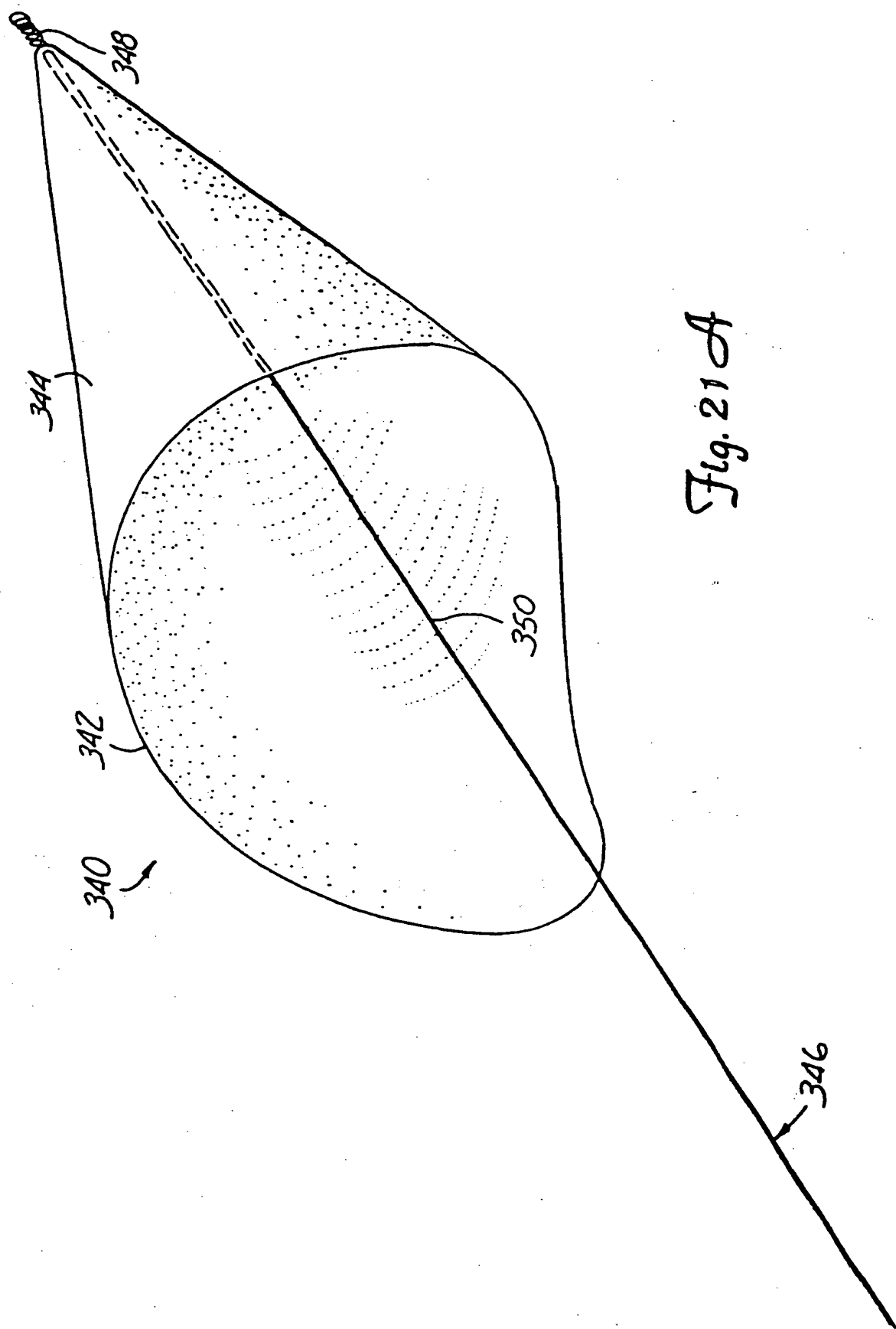
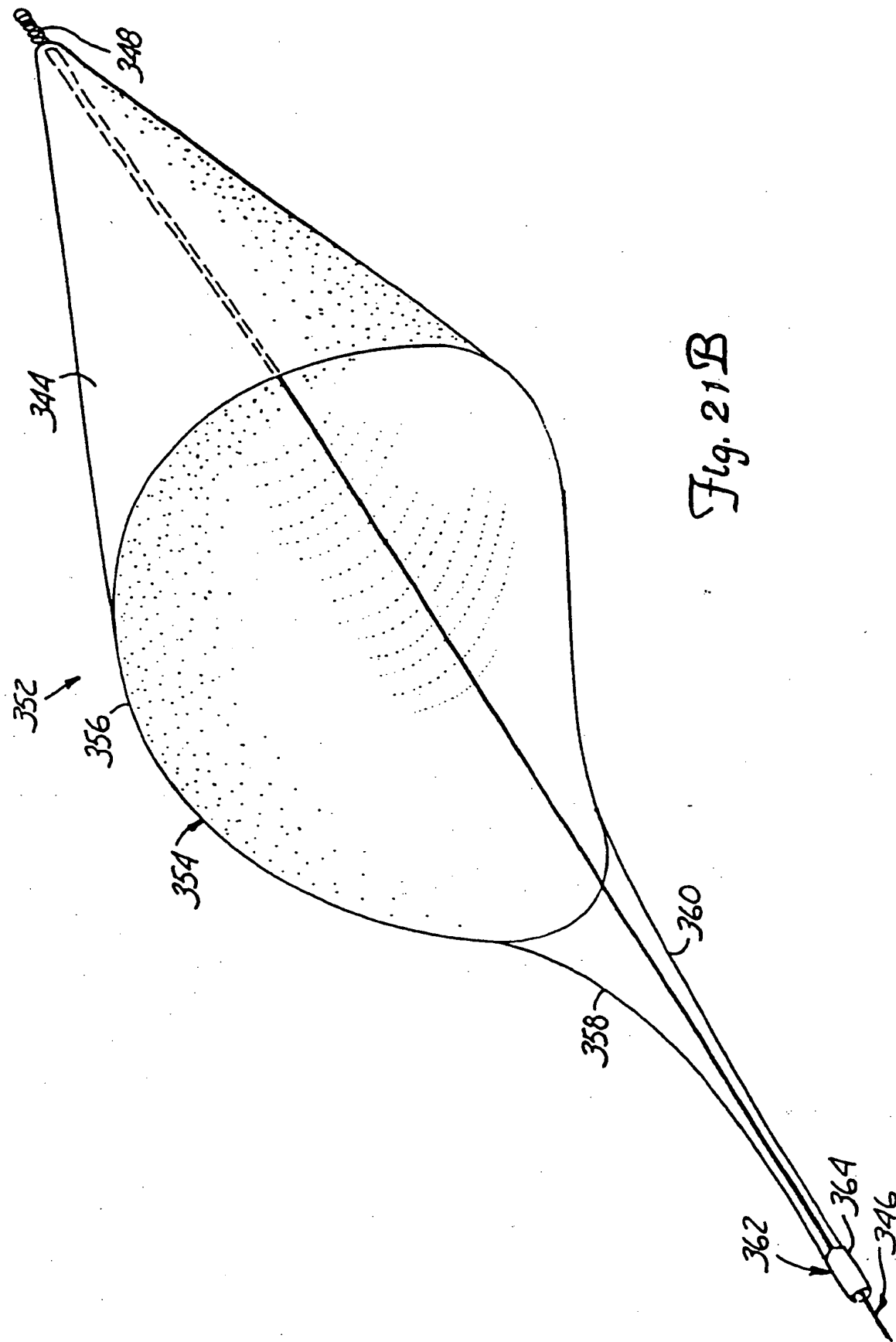
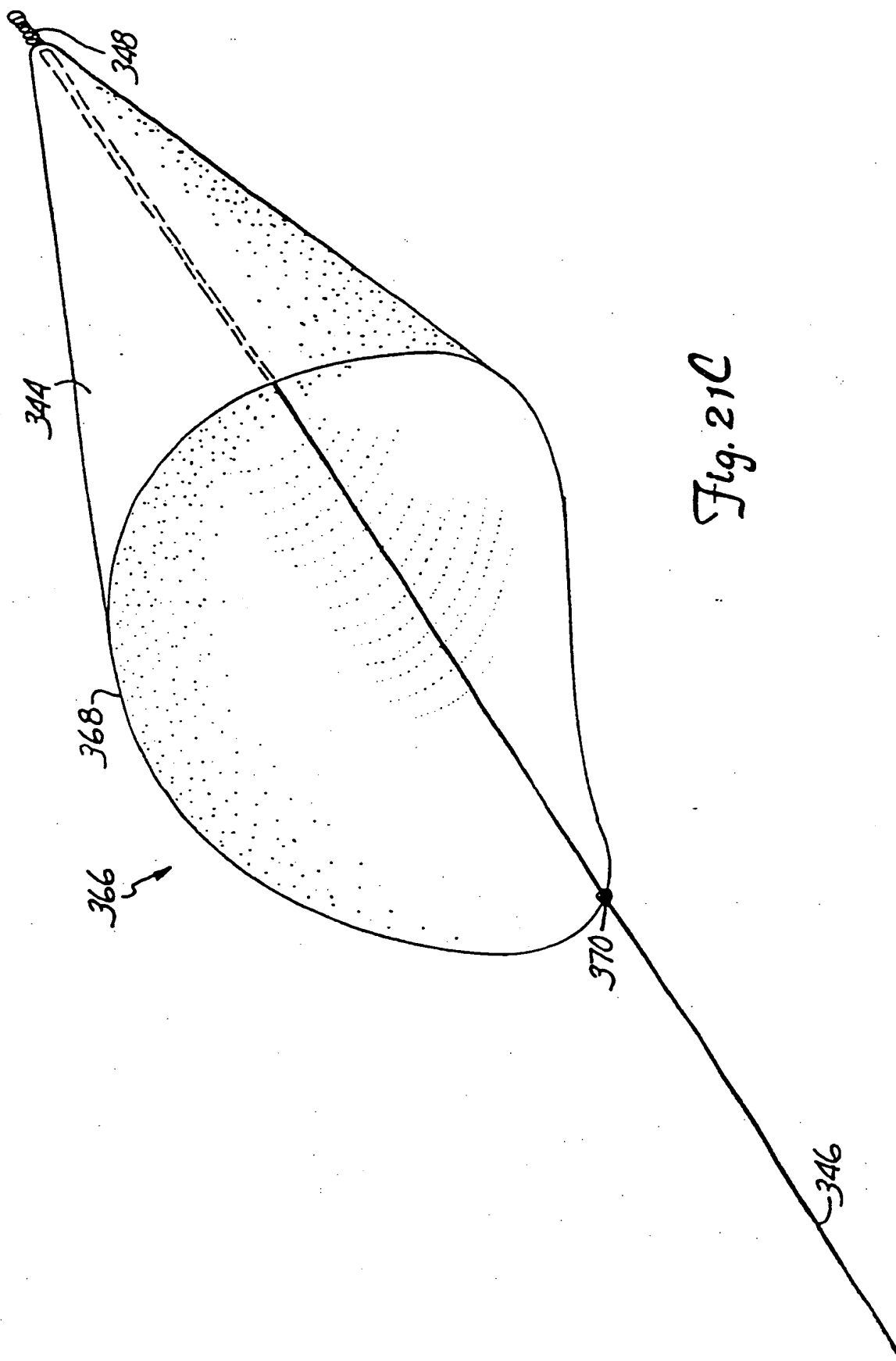
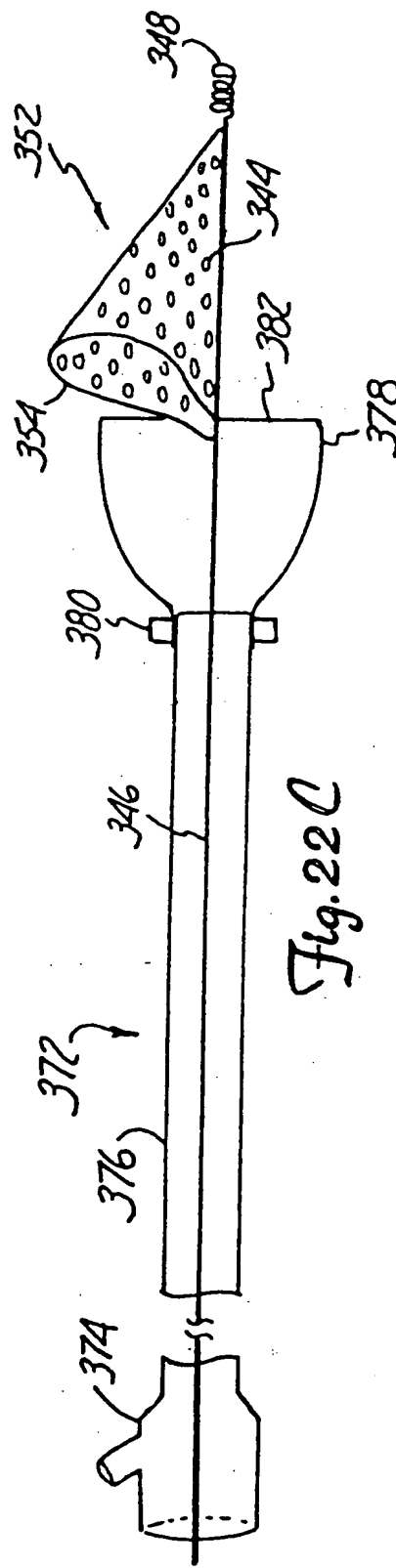
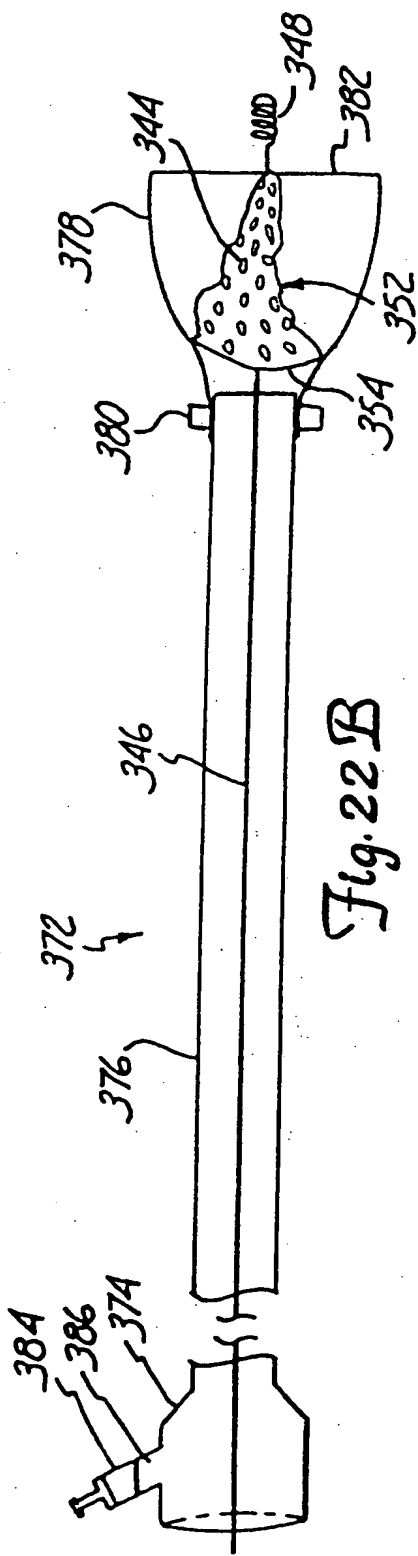
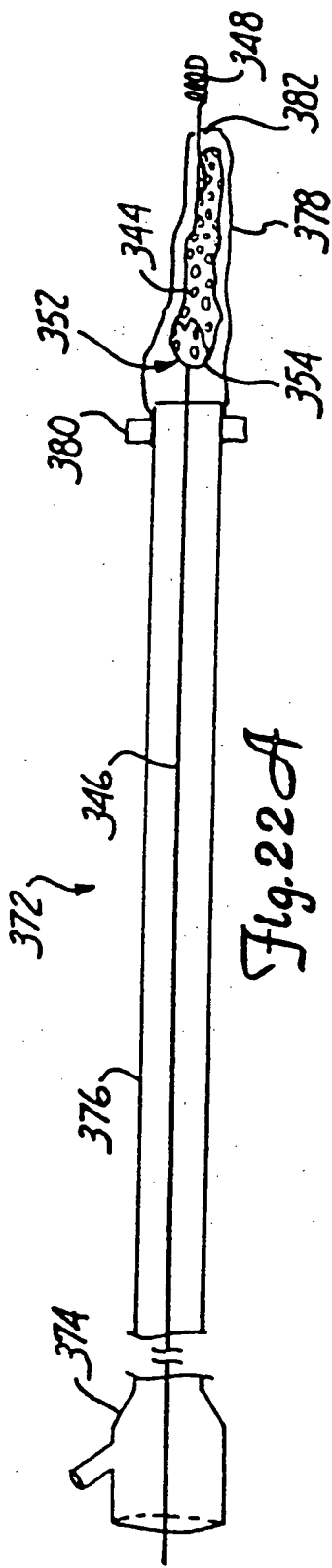


Fig. 20B









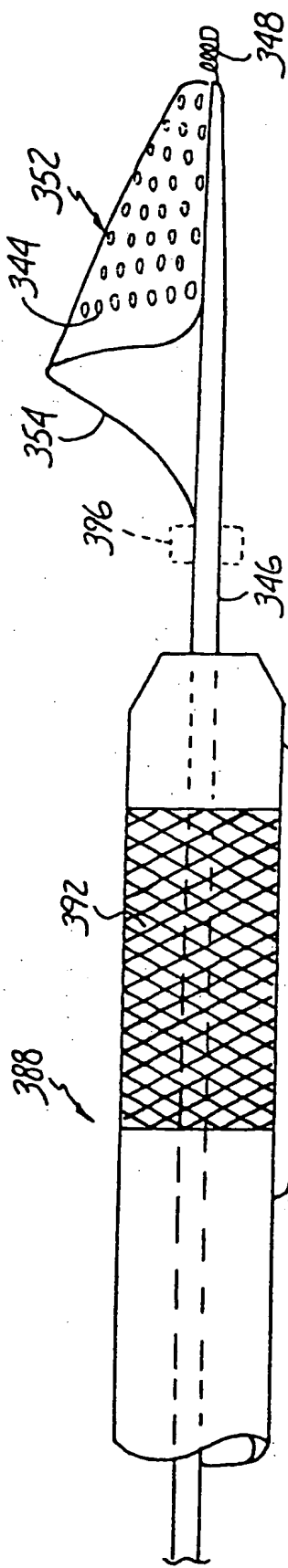


Fig. 23A

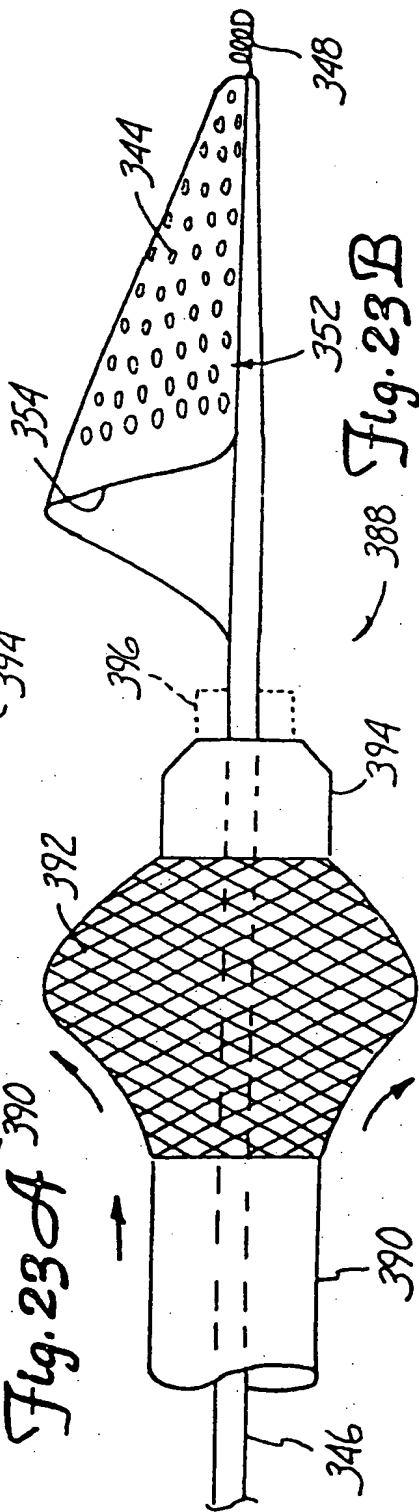


Fig. 23B

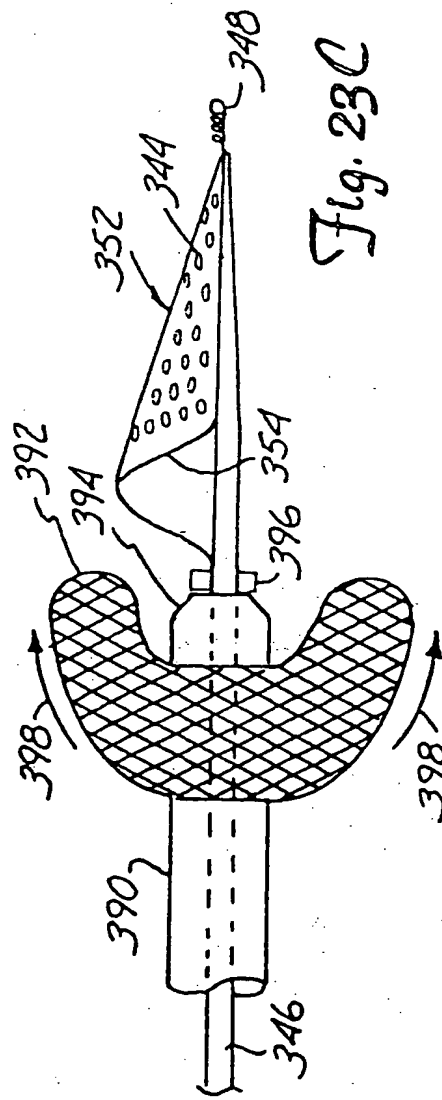


Fig. 23C

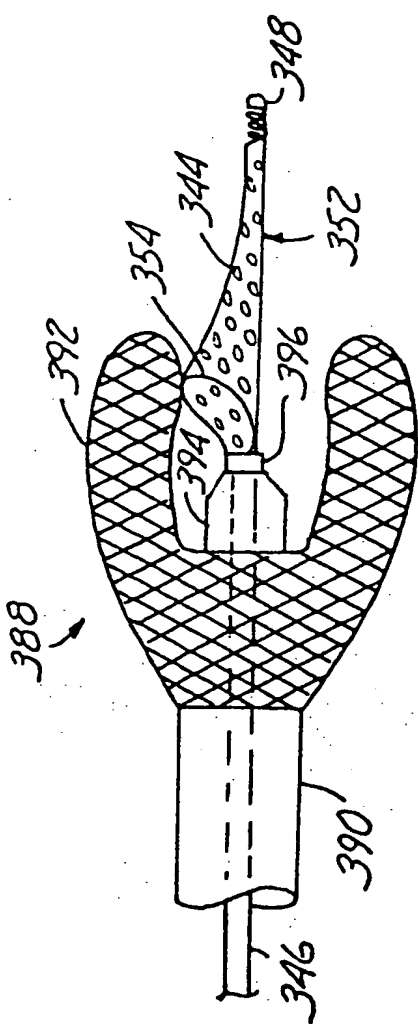


Fig. 23 D

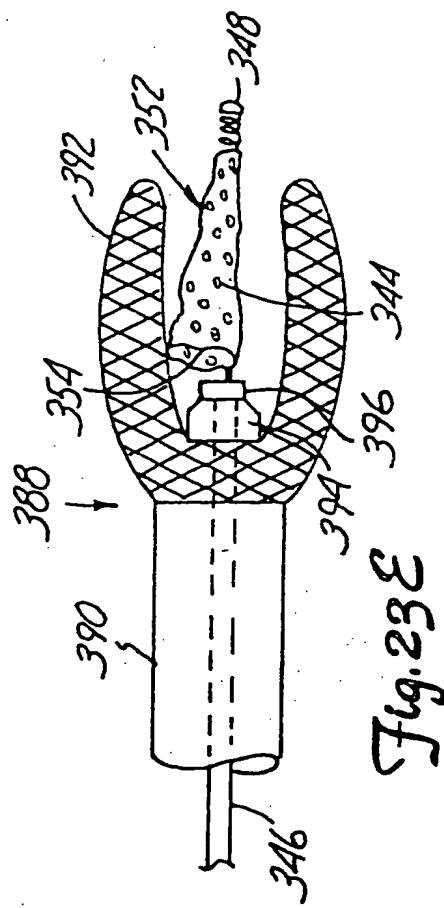
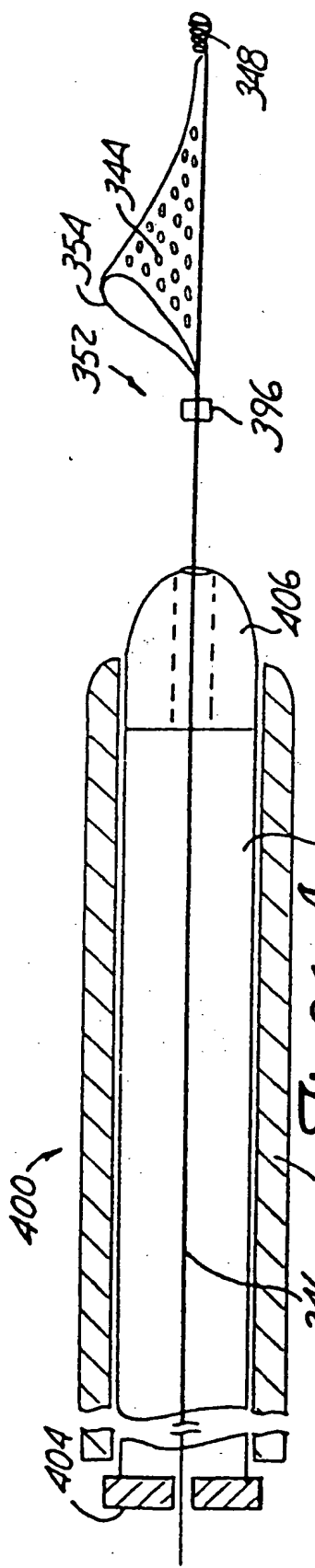


Fig. 23 E



346 402 Fig. 24 A 405

400

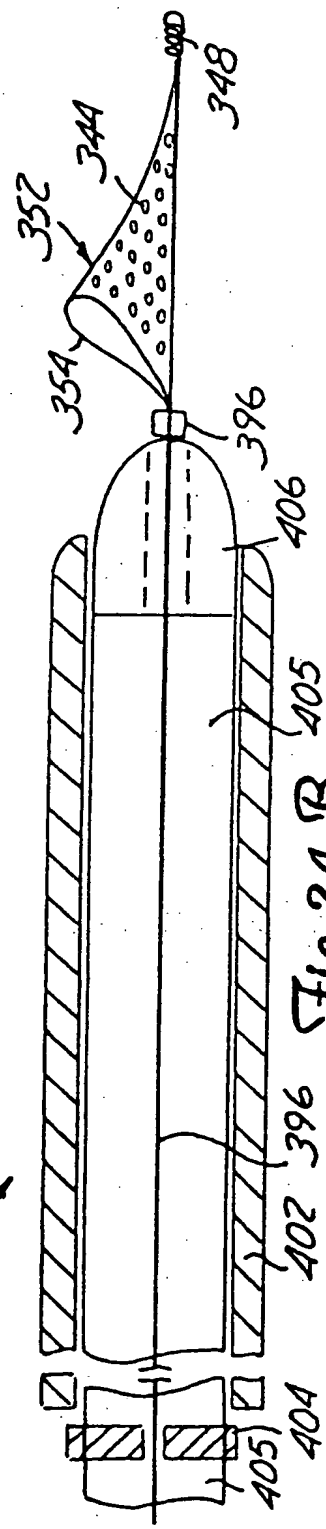


Fig. 24 B

400

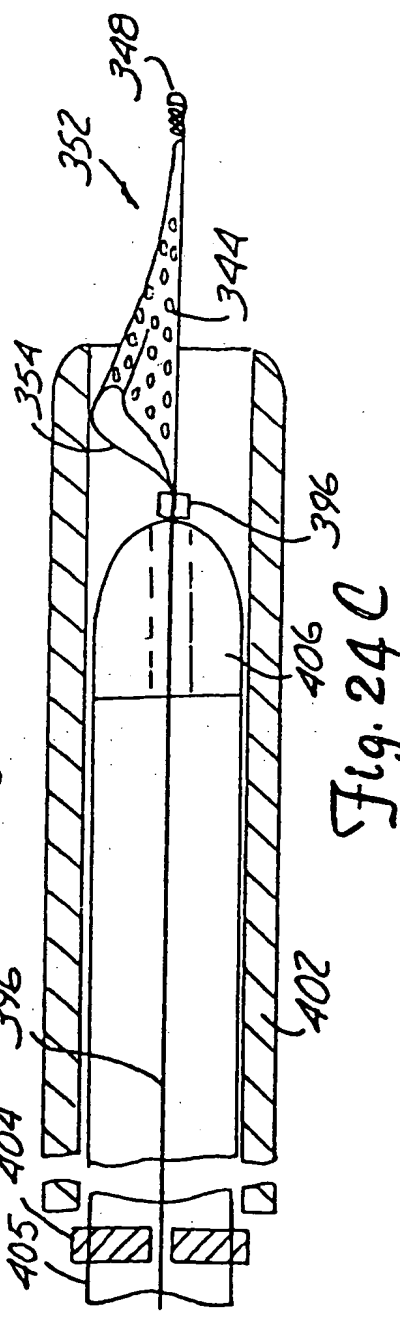


Fig. 24 C

400